

УДК 532.546

**МЕТОД ЗОНАЛЬНОЙ ЛИНЕАРИЗАЦИИ В НЕЛИНЕЙНЫХ  
МНОГОМЕРНЫХ ЗАДАЧАХ МАССОПЕРЕНОСА  
В ПОРИСТЫХ СРЕДАХ**

В. Л. ДАНИЛОВ, Р. М. КАЦ

(Москва)

Для расчета совместных течений несмешивающихся и смешивающихся жидкостей в пластах к системам скважин в последние годы предложен ряд методов.

Предлагается подход, который естественно назвать методом зональной линеаризации [1]. Он имеет меньшую размерность по сравнению с обычным конечно-разностным подходом и высокую точность, в частности, в окрестностях скважин ввиду его близости к методу характеристик. Этот метод применим как для непрерывных, так и для разрывных течений и принципиально позволяет исследовать формирование и распад разрывов.

В отличие от метода характеристик он хорошо приспособлен для программирования и реализации на ЭВМ, а также дает возможность получить в ряде случаев приближенное аналитическое решение задачи и оценку точности решения.

Метод основан на зональной линеаризации квазилинейного уравнения сохранения массы суммарного потока между выбранными поверхностями или линиями уровня (равной насыщенности или равной концентрации). Определение динамики поверхности уровня сводится к задаче Коши для системы интегродифференциальных уравнений в частных производных.

Метод зональной линеаризации является развитием схемы, описанной в [2-4], а методы решения задачи Коши — обобщением методов, изложенных [4-13].

Существо метода и его сходимость иллюстрируются двумерными задачами двухфазной фильтрации.

**1. Преобразование уравнений двухфазной фильтрации.** Система уравнений изотермической фильтрации двух несмешивающихся несжимаемых жидкостей с различными вязкостями и плотностями в изотропной недеформируемой пористой среде с учетом капиллярных сил может быть представлена в виде [7]

$$\begin{aligned}
 (1.1) \quad & \nabla(K\nabla\Phi_i) = \nabla[(K - K_i)\nabla(p_k - \Delta\rho gh)] \\
 & m\partial_t s = (-1)^i \nabla(K_i \nabla\Phi_i) \\
 & K = K_1 + K_2, \quad K_i = k f_i(s) / \mu_i, \quad \Phi_i = p_i + \rho_i g h, \\
 & \Delta\rho = \rho_2 - \rho_1 \\
 & s_1 + s_2 = 1 \quad (s_2 = s), \quad \Phi_1 - \Phi_2 = p_k - \Delta\rho g h
 \end{aligned}$$

Здесь и далее  $\partial_t s = ds / dt$ , индексы 1 и 2 относятся соответственно к вытесняемой и вытесняющей жидкостям,  $\Phi_i$  — напор,  $s_i$  — насыщенность порового объема  $i$ -й жидкостью в долях единицы,  $p_i$  — гидродинамическое давление в  $i$ -й фазе,  $m$  — открытая пористость,  $k$  — абсолютная проницаемость (далее  $m$  и  $k$  приняты постоянными),  $p_k(s)$  — межфазное капиллярное давление,  $f_i(s)$  — фазовая (относительная) проницаемость,  $\rho_i$  — плотность,  $g$  — ускорение силы тяжести,  $h(x, y, z)$  — превышение точки  $(x, y, z)$  над плоскостью нулевого гравитационного потенциала.

Прямая задача двухфазовой фильтрации заключается в определении двух неизвестных функций  $s(x, y, z, t)$ ,  $\Phi_i(x, y, z, t)$ , либо  $s$ ,  $p_i$  ( $i = 1$

или 2), удовлетворяющих системе двух уравнений (1.1), заданным начальным условиям

$$\Phi_i(x, y, z, 0) = \Phi_i^0(x, y, z), \quad s(x, y, z, 0) = s^0(x, y, z)$$

и граничным условиям первого или второго рода, налагаемым на  $\Phi_i$  и  $s$  или их нормальные производные на границах области течения в рассматриваемый промежуток времени. При этом  $f_i$  и  $p_k$  считаются известными функциями насыщенности.

Преобразуем исходную систему уравнений (1.1), вводя вместо  $\Phi_i$  (или  $p_i$ ) новую функцию — осредненное давление  $p^1$

$$(1.2) \quad Kp = K_1 p_1 + K_2 p_2$$

Тогда

$$p_1 = p + K_2 K^{-1} p_k, \quad p_2 = p - K_1 K^{-1} p_k$$

$$(1.3) \quad \Phi_1 = p + K_2 K^{-1} p_k + \rho_1 g h, \quad \Phi_2 = p - K_1 K^{-1} p_k + \rho_2 g h$$

С помощью (1.3) первое уравнение (1.1) в области течения (где всюду  $K > 0$ ) несложными преобразованиями можно привести к виду

$$\nabla^2 p = -K^{-1} [(\nabla K \nabla p) + \nabla (K p_k \nabla K_2 K^{-1}) + (\nabla L, \nabla h)]$$

$$(1.4) \quad L = g(K_1 \rho_1 + K_2 \rho_2)$$

Здесь использовано то, что  $h$  — линейная функция координат.

Если ввести обозначения  $s_-$  и  $s_+$  соответственно для нижнего и верхнего предельных значений насыщенности  $s$ , при которых в силу известного характера кривых  $f_i(s)$  имеют место равенства  $f_2(s_-) = 0$  и  $f_1(s_+) = 0$ , то

$$K_2(s_-) = 0, \quad K_1(s_+) = 0$$

Следовательно, если в какой-либо части области течения  $D$  движется лишь одна из фаз, то  $K = K_1(s_-)$  либо  $K = K_2(s_+)$  — постоянные. Но тогда в этой части области  $L = \text{const}$  и уравнение (1.4) вырождается в уравнение Лапласа  $\nabla^2 p = 0$ , поскольку во все члены правой части входят градиенты постоянных величин.

Перейдем к преобразованию второго уравнения (1.1) при  $i = 2$ .

Используя закон Дарси применительно ко второй фазе, т. е. соотношение  $v_{*2} = -K_2 \nabla \Phi_2$ , уравнение (1.2) можно записать в виде

$$(1.5) \quad m \partial_t s = -\nabla v_{*2} = -\partial_x v_{*2x} - \partial_y v_{*2y}$$

где  $v_{*2x}$  и  $v_{*2y}$  — проекции скорости фильтрации второй фазы на координатные оси. Используя теперь закон Дарси для первой фазы ( $v_{*1} = -K_1 \nabla \Phi_1$ ), имеем

$$v_{*x} = v_{*1x} + v_{*2x} = -K \partial_x \Phi_1 - K_2 \partial_x (p_k - \Delta \rho g h)$$

$$v_{*y} = v_{*1y} + v_{*2y} = -K \partial_y \Phi_1 - K_2 \partial_y (p_k - \Delta \rho g h)$$

Отсюда

$$\partial_x \Phi_1 = -v_{*x} K^{-1} - K_2 K^{-1} \partial_x (p_k - \Delta \rho g h)$$

$$\partial_y \Phi_1 = -v_{*y} K^{-1} - K_2 K^{-1} \partial_y (p_k - \Delta \rho g h)$$

Подставим эти соотношения в (1.5), где предварительно  $v_{*2x}$  и  $v_{*2y}$  выражены через  $\Phi_1$  из закона Дарси для второй фазы и учтена связь между  $\Phi_1$  и  $\Phi_2$ .

<sup>1</sup> Близкое по форме выражение было предложено В. М. Рыжиком [14].

После некоторых преобразований получаем

$$(1.6) \quad m\partial_t s = -\nabla(F\mathbf{v}_*) + \nabla[K_1 F \nabla(p_k - \Delta\rho gh)]$$

где  $\mathbf{v}_*$  — вектор скорости фильтрации суммарного потока, а  $F$  — функция Леверетта

$$(1.7) \quad \mathbf{v}_* = \mathbf{v}_{*_1} + \mathbf{v}_{*_2} = -K_1 \nabla \Phi_1 - K_2 \nabla \Phi_2, \quad F = K_2 K^{-1}$$

Итак, исходная система (1.1) относительно  $\Phi_i$  и  $s$  сведена к системе двух уравнений (1.4), (1.6) относительно  $p$  и  $s$ .

**2. Метод зональной линеаризации в задаче двухфазной фильтрации.** Ограничимся далее рассмотрением двумерной задачи двухфазной фильтрации, поскольку обобщение на трехмерный случай является очевидным. Пусть также для упрощения рассуждений область течения занимает всю плоскость.

В начальный момент  $t = 0$  в зоне  $D_0$  внутри замкнутого контура  $\Gamma_0$  (фиг. 1) всюду насыщенность  $s$  имеет минимальное значение  $s = s_-$ , а зоне  $D_{N+1}$  вне охватывающего  $\Gamma_0$  замкнутого контура  $\Gamma_N$  — максимальное значение  $s = s_+$ . Между контурами  $\Gamma_0$  и  $\Gamma_N$  лежит переходная зона  $D_T$ , в которой  $s_- < s < s_+$ , и, следовательно, подвижны обе фазы.

Учитывая, что границы  $\Gamma_0$  и  $\Gamma_N$  совпадают соответственно с изолиниями  $s_0 = s_-$  и  $s_N = s_+$ , и предполагая насыщенность в  $D_T$  убывающей от  $\Gamma_N$  к  $\Gamma_0$ <sup>1</sup>, разобъем переходную зону  $D_T$  на  $N$  подобластей  $D_j$  линиями равной насыщенности (изосатами)  $s_1, \dots, s_{N-1}$ , причем  $s_0 < s_1 < \dots < s_j < \dots < s_{N-1} < s_N$ .

Далее осредним фильтрационные сопротивления в каждой из зон  $D_j$  между изосатами  $s_{j-1}$  и  $s_j$  (контурами  $\Gamma_{j-1}$  и  $\Gamma_j$ ), полагая  $K_1, K_2$  и, следовательно,  $K$  постоянными

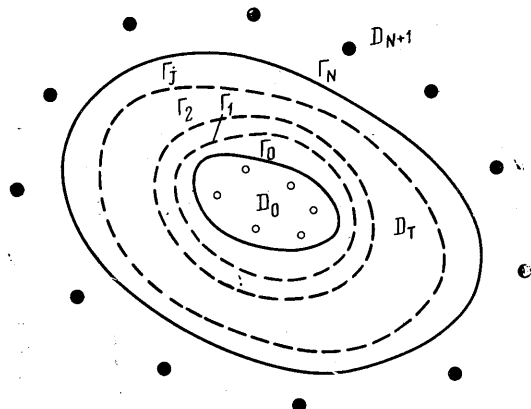
$$\langle K_{1,j} \rangle = c_{1,j}, \quad \langle K_{2,j} \rangle = c_{2,j}, \quad \langle K_j \rangle = c_{1,j} + c_{2,j} = c_j \quad (\langle K_j \rangle = K(\langle s_j \rangle))$$

где  $s_{j-1} < \langle s_j \rangle < s_j$  в силу монотонного характера зависимостей относительных проницаемостей  $f_1$  и  $f_2$  от  $s$ . Из уравнения (1.4) следует, что тогда функция  $p$  в каждой из областей  $D_j$  будет удовлетворять уравнению Лапласа

$$(2.1) \quad \nabla^2 p = 0$$

На границах зон  $D_j$  — изосатах  $\Gamma_j$  — должны выполняться условия непрерывности суммарного потока  $\mathbf{v}_*$  и фазовых давлений  $p_1$  и  $p_2$ . Поскольку уравнение (1.6) представляет собой уравнение сохранения для второй фазы и далее будет использовано на границах  $\Gamma_j$ , то при соблюдении не-

<sup>1</sup> В общем случае это предположение не является необходимым, поэтому число контуров  $\Gamma_j$  может превышать число выбранных изосат.



Фиг. 1

прерывности суммарного потока будет выполняться и условие сохранения для первой фазы.

Таким образом, на каждой из  $(N+1)$  границ  $\Gamma_j$  зон  $D_j$  остается удовлетворить трем условиям

$$(2.2) \quad v_{*n_j}^+ = v_{*n_j}^-, \quad p_1^+ = p_1^-, \quad p_2^+ = p_2^-$$

где  $n_j$  — нормаль к контуру  $\Gamma_j$  (для определенности внутренняя), индекс плюс означает предельное значение при подходе к  $\Gamma_j$  изнутри, а индекс минус — снаружи.

Из соотношений (1.7) и (1.3) имеем

$$(2.3) \quad \begin{aligned} v_* &= K \nabla p - L \nabla h - K p_n \nabla K_2 K^{-1} \\ v_{*n} &= -K \partial_n p - L \partial_n h - K p_n \partial_n (K_2 K^{-1}) \end{aligned}$$

Учитывая, что в области  $D_j$

$$K = c_j, \quad K_2 = c_{2,j}, \quad L = g(c_{1,j} \rho_1 + c_{2,j} \rho_2) = \langle L_j \rangle$$

а в области  $D_{j+1}$

$$K = c_{j+1}, \quad K_2 = c_{2,j+1}, \quad L = g(c_{1,j+1} \rho_1 + c_{2,j+1} \rho_2) = \langle L_{j+1} \rangle$$

из (2.2) и (2.3) находим

$$(2.4) \quad c_j \partial_{n_j} p^+ - c_{j+1} \partial_{n_j} p^- = (\langle L_{j+1} \rangle - \langle L_j \rangle) \partial_{n_j} h$$

Здесь символ  $\partial_{n_j}$  означает производную по внутренней нормали  $n_j$  к  $\Gamma_j$ . Отметим, что контуры  $\Gamma_j$  (а в пространственном случае — выбранные поверхности уровня  $\Sigma_j$ ) предполагаются удовлетворяющими условию Ляпунова.

Используя выражения (1.3) и значения  $K_1, K_2, K$  в областях  $D_j, D_{j+1}$ , условия для давлений (2.2) на  $\Gamma_j$  приводим соответственно к виду

$$(2.5) \quad \begin{aligned} p^+ - p^- &= -(c_{2,j} c_j^{-1} - c_{2,j+1} c_{j+1}^{-1}) p_{n_j \Gamma_j} \\ p^+ - p^- &= (c_{1,j} c_j^{-1} - c_{1,j+1} c_{j+1}^{-1}) p_{n_j \Gamma_j} \quad (j=0,1,\dots,N) \end{aligned}$$

Ввиду того что  $c_{1,j} c_j^{-1} = 1 - c_{2,j} c_j^{-1}$  соотношения (2.5) и (2.6) оказываются эквивалентными, достаточно удовлетворить любому из них.

Итак, после осреднения сопротивлений функция  $p$  должна удовлетворять в каждой из зон  $D_j$  уравнению Лапласа (2.1), а на границах зон  $\Gamma_j$  — условиям (2.4) и (2.5).

**3. Построение функции  $p$  и получение системы интегральных уравнений.** Естественно отыскивать функцию  $p$  в следующей форме:

$$(3.1) \quad \begin{aligned} p &= \varphi + \sum_{j=0}^N (V_j + W_j) + C(t), \quad V_j = \int_{\Gamma_j} \rho_j'(\xi, \eta) \ln r^{-1}(x, y; \xi, \eta) dl_j \\ W_j &= \int_{\Gamma_j} \kappa_j(\xi, \eta) \partial_{n_j} \ln r^{-1}(x, y; \xi, \eta) dl_j, \\ r &= [(x - \xi)^2 + (y - \eta)^2]^{1/2} \end{aligned}$$

Здесь  $\varphi$  — потенциал внешнего поля, включающий в себя все заданные особенности в областях  $D_0$  и  $D_{N+1}$  (например, источники и стоки);  $V_j$  и  $W_j$  — логарифмические потенциалы соответственно простого и двойного слоев с плотностями  $\rho_j'$  и  $\kappa_j$ , непрерывно распределенными по  $\Gamma_j$ ;  $(x, y) \in D$ ,  $(\xi, \eta) \in \Gamma_j$ ,  $l_j$  — дуговая абсцисса точки  $(\xi, \eta)$ ;  $n_j'$  — внутренняя нормаль к  $\Gamma_j$  в точке  $(\xi, \eta)$ ;  $C(t)$  — произвольная функция времени.

Чтобы пояснить построение потенциала внешнего поля  $\varphi$ , укажем, например, что при стоке с расходом  $Q_1(t)$  в точке  $(x_1, y_1) \in D_0$  и источнике с обильностью  $Q_2(t)$  в точке  $(x_2, y_2) \in D_{N+1}$  он имеет вид

$$(3.2) \quad \varphi = Q_1(t) (2\pi c_0 H)^{-1} \ln [(x - x_1)^2 + (y - y_1)^2]^{-1/2} + Q_2(t) (2\pi c_{N+1} H)^{-1} \ln [(x - x_2)^2 + (y - y_2)^2]^{1/2}$$

где  $H$  — постоянная мощность (толщина) пластины,  $Q_1 < 0$ ,  $Q_2 > 0$ .

Функция  $p$  (см. (3.1)) удовлетворяет уравнению (2.1) по построению.

Перейдем к выполнению условий (2.4) и (2.5). Удовлетворим в первую очередь условию (2.5). Устремляя точку  $(x, y)$  к контуру  $\Gamma_q$  изнутри и снаружи и учитывая непрерывность  $\varphi$ ,  $V_j$  и  $W_j$  при переходе через  $\Gamma_q$ , за исключением одного лишь члена  $W_q$ , получаем предельные значения  $p$  на  $\Gamma_q$  [15]

$$(3.3) \quad p^+ = \pi \kappa_q + \varphi|_{\Gamma_q} + \sum_{j=0}^N (V_j + W_j) + C$$

$$p^- = -\pi \kappa_q + \varphi|_{\Gamma_q} + \sum_{j=0}^N (V_j + W_j) + C \quad (q = 0, 1, \dots, N)$$

Отсюда на  $\Gamma_q$

$$(3.4) \quad p^+ - p^- = 2\pi \kappa_q$$

Из (2.5) следует:

$$(3.5) \quad \kappa_q = -(2\pi)^{-1} (c_{2,q} c_q^{-1} - c_{2,q+1} c_{q+1}^{-1}) p_{h\Gamma_j}$$

Ввиду того что на изосатах  $\Gamma_q$  давление  $p_{h\Gamma_q} = p_h(s_q) = \text{const}$ , плотности  $\kappa_q$  — известные постоянные. Если пренебречь капиллярными силами ( $p_h = 0$ ), то  $\kappa_q = 0$ .

Переходя к удовлетворению условий (2.4), учтем, что нормальные производные функций  $\varphi$ ,  $W_j$  и всех  $V_j$ , за исключением  $V_q$ , непрерывны при переходе через  $\Gamma_q$  [15, 16].

Следовательно,

$$(3.6) \quad \partial_{n_q} p^+ = -\pi \rho_q' + \partial_{n_q} \varphi + \sum_{j=0}^N (\partial_{n_q} V_j + \partial_{n_q} W_j),$$

$$\partial_{n_q} p^- = \pi \rho_q' + \partial_{n_q} \varphi \sum_{j=0}^N (\partial_{n_q} V_j + \partial_{n_q} W_j)$$

Здесь  $n_q$  — внутренняя нормаль к  $\Gamma_q$  в точке  $(x, y) \in \Gamma_q$ .

Подставляя соотношения (3.6) в (2.4), находим

$$(3.7) \quad \varphi_q' - \lambda_{q,q+1} \pi^{-1} \sum_{j=0}^N (\partial_{n_q} V_j + \partial_{n_q} W_j) = \pi^{-1} (\lambda_{q,q+1} \partial_{n_q} \varphi + \delta_{q,q+1} \partial_{n_q} h)$$

$$(3.8) \quad \begin{aligned} \lambda_{q, q+1} &= (c_q - c_{q+1})(c_q + c_{q+1})^{-1}, \\ \delta_{q, q+1} &= (\langle L_q \rangle - \langle L_{q+1} \rangle)(c_q + c_{q+1})^{-1} \end{aligned}$$

Из соотношения (2.3) имеем

$$\partial_n p = -[v_{*n} K^{-1} + p_k \partial_n (K_2 K^{-1}) + L K^{-1} \partial_n h]$$

Отсюда с учетом осреднения сопротивлений в зонах  $D_q$  получаем

$$(3.9) \quad \partial_{n_q} p^+ = -(v_{*n_q} c_q^{-1} + \langle L_q \rangle c_q^{-1} \partial_{n_q} h),$$

$$\partial_{n_q} p^- = -(v_{*n_q} c_{q+1}^{-1} + \langle L_{q+1} \rangle c_{q+1}^{-1} \partial_{n_q} h)$$

Из выражений (3.6)

$$(3.10) \quad \partial_{n_q} p^+ - \partial_{n_q} p^- = -2\pi \rho_q'$$

Подставляя сюда производные из (3.9), находим

$$(3.11) \quad \rho_q' = \pi^{-1} (-\lambda_{q, q+1} c_{q, q+1}^{-1} v_{*n_q} + \gamma_{q, q} \partial_{n_q} h)$$

$$(3.12) \quad c_{q, q+1} = 2c_q c_{q+1} (c_q + c_{q+1})^{-1}, \quad \gamma_{q, q+1} = 0.5 (\langle L_q \rangle c_q^{-1} - \langle L_{q+1} \rangle c_{q+1}^{-1})$$

Рассмотрим теперь члены  $\partial_{n_q} W_j$ , входящие в (3.7) под знаком суммы. При  $j \neq q$   $\partial_{n_q} W_j$  — значение производной по направлению  $n_q$  в точке  $(x, y) \in \Gamma_q$  от гармонической функции  $W_j$ . Выше было показано, что  $\kappa_j$  — постоянные, но тогда, как известно из теории потенциала

$$(3.13) \quad W_j = \begin{cases} 2\pi \kappa_j & \text{при } (x, y) \text{ внутри } \Gamma_j \\ 0 & \text{при } (x, y) \text{ вне } \Gamma_j \end{cases}$$

Легко усмотреть (фиг. 1), что точка  $(x, y)$  лежит внутри  $\Gamma_j$  при  $q < j$  и вне  $\Gamma_j$  при  $q > j$ . В том и другом случаях, очевидно,  $\partial_{n_q} W_j = 0$ .

Остается рассмотреть случай  $q = j$ . В случае замкнутого контура  $\Gamma_q$  с непрерывно дифференцируемой кривизной имеет место следующая формула [7]:

$$(3.14) \quad \partial_{n_q} W_q = \partial_{n_q} \int_{\Gamma_q} \kappa_q \partial_{n_q} \ln r_{qq}^{-1} dl_q = \int_{\Gamma_q} \partial_{l_q} \kappa_q \partial_{l_q} \ln r_{qq}^{-1} dl_q.$$

$$r_{qq} = [(x - \xi)^2 + (y - \eta)^2]^{1/2}$$

Здесь  $l'_q$  — дуговая абсцисса точки  $(x, y) \in \Gamma_q$ ,  $l_q$  — дуговая абсцисса точки  $(\xi, \eta) \in \Gamma_q$ .

Из (3.13) при  $\kappa_q = \text{const}$  следует, что  $\partial_{n_q} W_q = 0$ .

Таким образом, все члены  $\partial_{n_q} W_j$  исчезают, т. е. наличие капиллярного давления не отражается на форме уравнений (3.7).

Эти уравнения с учетом обращения в нуль  $\partial_{n_q} W_j$  и подстановки в них  $\rho_q'$  из (3.11) принимают вид

$$(3.15) \quad \begin{aligned} v_{*n_q} - \pi^{-1} c_{q+1} \sum_{j=0}^N c_{j, j+1} \int_{\Gamma_q} (\lambda_{j, j+1} v_{*n_j} - a_{j, j+1} \partial_{n_j} h) \partial_{n_q} \ln r_{jq}^{-1} dl_j &= \\ = -c_{q, q+1} (\partial_{n_q} \varphi + b_{q, q+1} \partial_{n_q} h) & (q = 0, 1, \dots, N) \end{aligned}$$

$$(3.16) \quad a_{j, j+1} = c_{j, j+1} \gamma_{j, j+1}, \quad b_{q, q+1} = \lambda_{q, q+1}^{-1} (\delta_{q, q+1} - \gamma_{q, q+1})$$

Уравнения (3.15) представляют собой систему  $(N+1)$  интегральных уравнений типа Фредгольма второго рода относительно неизвестных функций  $v_{*nq}$  — нормальных скоростей фильтрации суммарного потока на контурах  $\Gamma_q$ . Она может быть решена при известных положениях контуров  $\Gamma_q$ .

**4. Сведение задачи к задаче Коши для системы интегродифференциальных уравнений.** Как указывалось в п.1, распределение насыщенности  $s$  и, следовательно, положение  $\Gamma_j$  известны лишь в начальный момент  $t=0$ . Поскольку выбранные контуры  $\Gamma_j$  являются изосатами, а второе уравнение (1.1), или в преобразованном виде уравнение (1.6), представляет собой уравнение сохранения одной фазы, то из него переходом к лагранжевой точке зрения могут быть получены уравнения движения изосат.

Введем  $n$  — направление градиента  $s$ . Оно совпадает с направлением внутренней нормали к изосате, т. е. ортогонально к  $\Gamma_j$ . Поэтому  $|\partial_n s| = |\nabla s|$ .

Преобразуем правую часть уравнения (1.6) следующим образом, учитывая, что  $F, K_1, p_k$  зависят лишь от  $s$

$$(4.1) \quad \begin{aligned} -\nabla(Fv_*) + \nabla[K_1 F \nabla(p_k - \Delta\rho gh)] &= -(\nabla F, v_*) - F \nabla v_* - \\ &- g \Delta\rho (\nabla K_1 F, \nabla h) - g \Delta\rho K_1 F \nabla^2 h + \nabla(K_1 F \nabla p_k) = \\ &= -d_s F (\nabla s, v_*) - g \Delta\rho d_s (K_1 F) (\nabla s, \nabla h) + \nabla(K_1 F d_s p_k \nabla s) = \\ &= -d_s F \partial_n s v_{*n} - g \Delta\rho U \partial_n s \partial_n h + \nabla(V \nabla s) \end{aligned}$$

где  $\nabla^2 h = 0$ , так как  $h$  — линейная функция координат,  $\nabla v_* = 0$  вследствие несжимаемости жидкостей и введены обозначения

$$(4.2) \quad \begin{aligned} d_s F &= dF / ds = d(K_2 K^{-1}) / ds, \quad d_s p_k = dp_k / ds \\ U &= d_s(K_1 F) = d_s(K_1 K_2 K^{-1}), \quad V = K_1 F d_s p_k = K_1 K_2 K^{-1} d_s p_k \end{aligned}$$

Подставляя (4.1) в правую часть уравнения (1.6), получаем

$$(4.3) \quad m \partial_t s = -d_s F v_{*n} \partial_n s - g \Delta\rho U \partial_n h \partial_n s + \nabla(V \nabla s)$$

Вводя уравнение контура  $\Gamma_q$  — изосаты с насыщенностью в форме

$$(4.4) \quad s_q(x, y, t) = 0$$

и дифференцируя (4.4) по времени, имеем

$$(4.5) \quad \partial_x s_q d_i x + \partial_y s_q d_i y + \partial_t s_q = \partial_n s_q v_n + \partial_t s_q = 0$$

$$(4.6) \quad v_n = -\partial_t s_q (\partial_n s_q)^{-1}$$

где  $v_n$  — нормальная скорость движения контура  $\Gamma_q$ . Поэтому уравнение (4.3) можно переписать в виде

$$(4.7) \quad m \partial_t s_q = -d_s F v_{*n} \partial_n s_q - g \Delta\rho U |_{\Gamma_q} \partial_n s_q h \partial_n s_q + \nabla(V \nabla s) |_{\Gamma_q}$$

откуда

$$(4.8) \quad v_{*n} = -[d_s F(s_q)]^{-1} \{m \partial_t s_q (\partial_n s_q)^{-1} + g \Delta\rho U(s_q) \partial_n s_q h - \nabla(V \nabla s) |_{\Gamma_q} (\partial_n s_q)^{-1}\}$$

Из поведения функции Леверетта  $F(s)$  следует, что  $d_s F(s_+) = d_s F(s_N) = 0$ , поэтому выражение (4.4) теряет смысл на контуре  $\Gamma_N$ . Для остальных значений индекса  $q$ , т. е. для  $q = 0, 1, \dots, N-1$ , значение  $v_{*nq}$  из (4.4) может быть подставлено в систему уравнений (3.15), после чего получаем систему  $(N+1)$  интегродифференциальных уравнений от-

носительно  $(N+1)$  искомых функций  $s_q(x, y, t)$  и  $v_{*nN}$ , для которой ставится задача Коши при известных начальных условиях

$$(4.9) \quad s_q(x, y, 0) = s_q^0(x, y)$$

Задаче Коши можно придать и более симметричную форму. Если известна функция Грина уравнения Лапласа  $G(x, y; \xi, \eta)$ , удовлетворяющая на  $\Gamma_N$  условиям (2.4), (2.5), то из системы интегродифференциальных уравнений может быть устранена искомая функция  $v_{*nN}$ . Для этого достаточно в выражении (3.1) и всюду далее вместо  $\ln r^{-1}$  ввести  $G$  (в  $\varphi, V_j, W_j$ ) и суммирование по  $j$  проводить не до  $N$ , а до  $N-1$ .

Условия (2.4), (2.5) на  $\Gamma_N$  будут выполнены в силу структуры функции  $p$ . Тогда в системе (3.7) будут отсутствовать уравнение с  $q=N$  и интегральные члены по  $\Gamma_N$ . Поэтому подстановка в нее функций  $v_{*nq}$  из (4.4) приводит к задаче Коши для системы  $N$  интегродифференциальных уравнений относительно искомых функций  $s_q(x, y, t)$  ( $q=0, 1, \dots, N-1$ ).

Остановимся на определении фазовых давлений. Из (1.3) следует, что они при известном после решения задачи Коши поле насыщенности  $s(x, y, t)$  полностью определяются функцией  $p$ .

Обращаясь к выражению (3.1), уравнению (2.1) и условиям (2.4), (2.5), видим, что  $p$  определяется с точностью до аддитивной произвольной функции времени. Поэтому для единственности определения  $p$  следует, например, задать значение этой функции (или одной из  $p_i$ ) в какой-либо точке области  $D$  как функцию времени.

Входящие в (3.1) плотности  $\rho'_j$  и контура  $\Gamma$ , определяются из решения задачи Коши (см. (3.11) и (3.15)),  $W_j$  даются выражениями (3.13) и (3.5). Таким образом, определение  $p$  сводится к квадратурам при вычислении  $V_j$ .

**5. О методах решения задачи Коши для системы интегродифференциальных уравнений.** Ранее в [3, 4] была сформулирована задача Коши для одного интегродифференциального уравнения, близкого к рассмотренному выше. Графоаналитический и численные методы ее решения предложены в [4, 7]<sup>1</sup>, а приближенный аналитический метод — в [7, 8]. Они были реализованы для целого ряда конкретных задач в [2, 5–12]. Обзор результатов дан в [13]. Их обобщение на случай  $N$  контуров не представляет принципиальных затруднений.

Укажем также, что с вычислительной точки зрения конечно-разностные алгоритмы решения задачи Коши можно рассматривать как своеобразную реализацию совместного эйлерово-лагранжева метода для нестационарных задач (СЭЛ), обладающую той особенностью, что на каждом шаге по времени отсутствует этап определения давления, присущий методу СЭЛ [17]. Это объясняется расщеплением по предлагаемому методу задачи определения  $p$  и  $s$  на две задачи, решаемые последовательно, — задачу определения  $s$  (задача Коши для системы интегродифференциальных уравнений) и задачу определения  $p$ , которая после решения первой сводится к квадратурам (см. п. 4) и может быть решена лишь в случае необходимости.

Аналитический подход будет пояснен ниже на конкретных задачах.

**6. О сходимости функции давления, полученной методом зональной линеаризации, к точному решению.** Рассмотрим некоторые вопросы сходимости метода, причем для упрощения выкладок ограничимся случаем тонкого горизонтального пласта ( $h = z_0 = \text{const}$ ) и принебрежим капиллярными силами ( $p_h = 0$ ). Тогда уравнения (1.1), (1.6) и (2.3) принимают соответственно вид

$$(6.1) \quad \nabla^2 p = -K^{-1}(\nabla K, \nabla p)$$

$$(6.2) \quad m\partial_t s = -\nabla(Fv)$$

$$(6.3) \quad v_{\pm n} = -K\partial_n p$$

При этом  $p_1 = p_2 = p$ , как следует из (1.3). Уравнение (6.1) можно формально рассматривать как уравнения Пуассона с правой частью  $-K^{-1}(\nabla K, \nabla p)$  в переход-

<sup>1</sup> В. Л. Данилов. Краевые задачи гидродинамической теории фильтрации и гидродинамики с подвижной границей. Докт. дисс., М., 1961.

ной зоне  $D_T = \sum_1^N D_j$ . Для точки  $A$  функция  $u(A)$ , удовлетворяющая уравнению

$$(6.4) \quad \nabla_A^2 u = \begin{cases} -2\pi\chi(A) & \text{при } A \in D_T \\ 0 & \text{при } A \text{ вне } D_T \end{cases}$$

может быть выражена с помощью фундаментального решения уравнения Лапласа в плоскости  $\ln r_{AP}^{-1}$  формулой [15]

$$(6.5) \quad u(A) = \iint_{D_T} \chi(P) \ln r_{AP}^{-1} dD_P$$

Сравнивая (6.1) и (6.4), видим, что следует положить

$$(6.6) \quad \chi(A) = (2\pi K)^{-1} (\nabla K, \nabla p)$$

Учитывая заданные особенности функции  $p$  в областях  $D_0$  и  $D_{N+1}$ , получаем интегральное ее представление в форме

$$(6.7) \quad p = \Phi + (2\pi)^{-1} \iint_{\Gamma} K^{-1} (\nabla K, \nabla p) \ln r_{AP}^{-1} dD_P$$

С другой стороны, из (3.1) имеем (при  $C = 0$ )

$$(6.8) \quad p = \Phi + \sum_{j=0}^N V_j, \quad V_j = \int_{\Gamma_j} \rho'_j \ln r_{AP}^{-1} dl_j$$

поскольку  $W_j = 0$  при  $\rho_h = 0$ , как вытекает из (3.5) и (3.13).

Покажем теперь, что при неограниченном увеличении числа зон  $D_j (N \rightarrow \infty)$  и при одновременном уменьшении ширины каждой из них выражение (6.8) стремится к интегральному представлению для  $p$  (6.7).

Для рассматриваемого случая из (3.11) находим

$$(6.9) \quad \rho'_j = -\pi^{-1} \lambda_{j,j+1} c_{j,j+1}^{-1} v_{*nj}$$

Используя (6.9) и (6.3), представим выражение (6.8) в форме

$$(6.10) \quad p = \Phi + \pi^{-1} \sum_{j=0}^N \lambda_{j,j+1} c_{j,j+1}^{-1} K_{\Gamma_j} \int_{\Gamma_j} \partial_{n_j} p \ln r_{AP}^{-1} dl_j$$

Введем семейство кривых  $n_i$ , ортогональных контурам  $\Gamma_j$ . Пусть их число равно  $M$ . Преобразуем несколько множители под знаком суммы в (6.10)

$$(6.11) \quad \begin{aligned} \lambda_{j,j+1} c_{j,j+1} K_{\Gamma_j} &= (c_j - c_{j+1}) (c_j + c_{j+1})^{-1} (2c_j c_{j+1})^{-1} (c_j + c_{j+1}) K_{\Gamma_j} = \\ &= (\bar{K}_j - \bar{K}_{j+1}) (2\bar{K}_j \bar{K}_{j+1})^{-1} K(s_j) = \\ &= 2^{-1} (\Delta \bar{K}_j / \Delta n_{ji}) \bar{K}_j^{-1} [K(s_j) \bar{K}_{j+1}^{-1}] \Delta n_{ji}, \quad \bar{K}_j = \langle K_j \rangle \end{aligned}$$

где  $\Delta \bar{K}_j = \bar{K}_j - \bar{K}_{j+1}$ ,  $\Delta n_{ji}$  — расстояние по нормали  $n_i$  между точками контуров  $\Gamma_j$  и  $\Gamma_{j+1}$ . Нормали  $n_i$  разбивают каждый из контуров  $\Gamma_j$  на  $M$  криволинейных участков  $\Delta l_{ji}$ . Обозначая через  $\partial_{n_{ji}} p \ln r_{AP}^{-1}$  средние значения подынтегральных функций на этих участках, имеем

$$(6.12) \quad \int_{\Gamma_j} \partial_{n_j} p \ln r_{AP}^{-1} dl_j = \sum_{i=1}^M \partial_{n_{ji}} p \ln r_{A_{ji}}^{-1} \Delta l_{ji}$$

Подставим (6.11) и (6.12) в (6.10)

$$p' = \Phi + (2\pi)^{-1} \sum_{j=0}^N \sum_{i=0}^M (\Delta K_j / \Delta n_{ji}) \bar{K}_{ji}^{-1} [K_j(s_j) \bar{K}_{j+1}^{-1}]_i \partial_{n_{ji}} p \ln r_{A_{ji}}^{-1} \Delta l_{ji} \Delta n_{ji}$$

Теперь перейдем к пределу при  $N \rightarrow \infty$  и  $M \rightarrow \infty$  в этой двойной римановой сумме, учитывая, что при этом

$$A_{ij} \rightarrow r_{AP}, \quad K_{ji} \rightarrow K, \quad (\Delta K_j / \Delta n_{ji}) \rightarrow \partial_n K; \quad K_j(s_j) \bar{K}_{j+1}^{-1} \rightarrow 1 \quad \Delta l_{ji} \Delta n_{ji} \rightarrow dl dn = dD_P$$

Следовательно

$$\lim_{M, N \rightarrow \infty} p' = \varphi + (2\pi)^{-1} \iint_{D_T} \partial_n K \partial_n p K^{-1} \ln r_{AP}^{-1} dD_P = \\ = \varphi + (2\theta)^{-1} \iint_{D_T} K^{-1} (\nabla K, \nabla p) \ln r_{AP}^{-1} dD_P$$

что совпадает с представлением (6.7).

Выражение (3.1) для функции  $p$  показывает, что по методу зональной линеаризации отыскивается обобщенное приближенное решение, поскольку на контурах  $\Gamma_j$  нормальная производная  $\partial_n p$  терпит разрыв первого рода в силу известных свойств потенциалов простого слоя  $V_j$  [15]. Величина этого разрыва на  $\Gamma_j$  стремится к нулю при  $N \rightarrow \infty$ , и в пределе для точки  $A \in D_T$  приходим к непрерывному решению с первыми и вторыми производными.

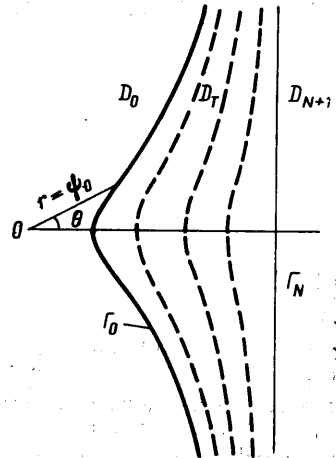
Если не учитываются капиллярные силы, то решение по  $s$  имеет разрывной характер на  $\Gamma_0$ , о чём будет сказано ниже.

**7. Задача о двухфазной фильтрации к одиночной скважине.** Рассмотрим двухмерную задачу о двухфазной фильтрации несжимаемых жидкостей к одиночной скважине в неограниченном по простираннию пласте постоянной мощности  $H$  при первоначально прямолинейной границе раздела зон с предельными насыщеностями  $s$  и  $\bar{s}$ . Для упрощения примем  $p_h = 0$ ,  $h = \text{const}$ . Уравнения движения изосат  $\Gamma_q$  в полярных координатах  $r = \psi(\theta, t)$  (фиг. 2), исходя из (4.4), могут быть представлены в безразмерном виде (далее для краткости обозначено  $\chi_q = \psi^2$ )

$$(7.1) \quad \partial_t \chi_q(\theta, t) = d_s F(s_q) u_q(\theta, t)$$

где  $u_q(\theta, t)$  — решение системы (3.15), принимающей в данной задаче вид

$$(7.2) \quad R_{qj} = \frac{\psi_q^2(\theta, t) - \psi_q(\theta, t) \psi_j(v, t) \cos(\theta - v) - \partial_\theta \psi_q(\theta, t) \psi_j(v, t) \sin(\theta - v)}{\psi_q^2(\theta, t) - 2\psi_q(\theta, t) \psi_j(v, t) \times} \\ \times \int_{-\pi/2}^{\pi/2} u_j(v, t) R_{j,q}(\theta, v; t) dv = -c_0 c_{q,q+1} \\ u_q(\theta, t) - \pi^{-1} c_{q,q+1} \sum_{j=0}^N \lambda_{j,j+1} c_{j,j+1}^{-1} \times$$



Фиг. 2

Связь размерных величин  $\psi^\circ$  и  $t^\circ$  с безразмерными такова:

$$\psi = \psi^\circ a^{-1}, \quad t = Qt^\circ (\pi m a^2 H)^{-1}$$

где  $a$  — расстояние между скважиной и  $\Gamma_N$  (см. фиг. 2),  $Q = \text{const} < 0$  — дебит скважины.

В данном случае начальные положения всех изосат совпадают, зона  $D_T$  при  $t = 0$  вырождена в прямую

$$(7.3) \quad \chi_q(\theta, 0) = \cos^{-2}\theta \quad (q=0, 1, \dots, N)$$

Решение задачи Коши для системы (7.1), (7.2) при начальных условиях (7.3) отыскивалось в форме степенных рядов по времени  $t$  аналогично [8]

$$(7.4) \quad \chi_q(\theta, t) = \chi_q(\theta, 0) + \partial_t \chi_q(\theta, 0) \frac{t}{1!} + \partial_{t^2} \chi_q(\theta, 0) \frac{t^2}{2!} + \dots$$

( $q=0, 1, \dots, N$ )

Определялись два коэффициента рядов (7.4)

$$(7.5) \quad \begin{aligned} \partial_t \chi_q(\theta, 0) &= -d_s F(s_q) (1 - \lambda_{0, N+1}), & \lambda_{0, N+1} &= (c_0 - c_{N+1}) (c_0 + c_{N+1})^{-1} \\ \partial_{t^2} \chi_q(\theta, 0) &= d_s F(s_q) \partial_t u_q(\theta, 0) \end{aligned}$$

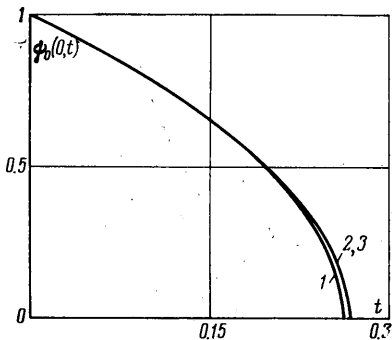
где  $\partial_t u_q(\theta, 0)$  — решение системы линейных алгебраических уравнений

$$(7.6) \quad \begin{aligned} \partial_t u_q(\theta, 0) + c_{q,q+1} \sum_{j=0}^N \text{sign}(j-q) \lambda_{j,j+1} c_{j,j+1} \partial_t u_j(\theta, 0) = \\ = 0.25 \lambda_{q,q+1} \partial_t u_q(\theta, 0) \partial_t \chi_q(\theta, 0) \cos 2\theta + c_{q,q+1} \sum_{j=0}^N \lambda_{j,j+1} c_{j,j+1}^{-1} \times \\ \times \{ \partial_t u_j(\theta, 0) \partial_t \chi_q(\theta, 0) [0.5 \cos^2 \theta - \cos^2 \theta \cos 2\theta - 0.5 \text{sign}(j-q) \cos^2 \theta] + \\ + \partial_t u_j(\theta, 0) \partial_t \chi_j(\theta, 0) [0.5 \cos 2\theta + 0.25 \cos 4\theta + 0.5 \text{sign}(j-q) \cos^2 \theta] \} \end{aligned}$$

Здесь  $\text{sign}(j-q)$  — знак разности  $(j-q)$ , причем  $\text{sign} 0 = 0$ , функция  $\partial_t \chi_q(\theta, 0)$  подставляется из (7.5),  $q = 0, 1, \dots, N$ .

Можно показать, что с момента  $t = 0$  образуется разрыв насыщенности на фронтовой изосате  $\Gamma_0$ , причем величина разрыва та же, что в одномерном решении Бакли — Леверетта [18]. Были выполнены расчеты для отношения вязкостей  $\mu_1 \mu_2^{-1} = 10$ . Фазовые проницаемости принимались в виде  $f_1 = (1-s)^2$ ,  $f_2 = s^2$ , причем  $s_- = 0$ ,  $s_+ = 1$ . Значение фронтовой насыщенности на  $\Gamma_0$  при этом равно  $s_0 = 0.3015$ .

Были рассчитаны случаи аппроксимации переходной области одной, двумя и четырьмя зонами. Средние значения насыщенности в каждой из зон принимались равными средним, вычисленным из решения одномерной задачи Бакли — Леверетта [18] на соответствующих интервалах изменений насыщенности для  $s_0 < s < 1$ .



Фиг. 3

Сходимость метода с ростом числа зон иллюстрируется сопоставлением безразмерных времен подхода изосаты  $\Gamma_0$  с  $s = s_0$  к скважине, которые для одно-, двух- и четырехзонной схем равны соответственно 0.2602, 0.2638 и 0.2647. Графики функций  $\psi_0 = (\theta, t)$ , приведенные на фиг. 3, практически совпадают для двухзонной и четырехзонной схем (кривые 2 и 3).

8. Задача о площадном заводнении. Рассмотрим задачу двухфазной фильтрации в так называемой пятиточечной системе скважин. В [10] получено интегродифференциальное уравнение движения границы раздела нефти и воды для модели поршневого вытеснения (Лейбензона — Муската), которое отличается

от однозонной схемы аппроксимации методу лишь постоянным множителем в правой части. Задача Коши для этого уравнения решалась также методом разложения в степенной ряд по времени. Аналогично может быть получена система уравнений, описывающая движение изосат и в случае многозонной аппроксимации переходной зоны. После перехода к полярным координатам с центром в нагнетательной скважине (фиг. 4) и введения безразмерных переменных этой системе можно придать вид ( $\chi_q = \psi_q^2 / q_N$ )

$$(8.1) \quad \partial_t \chi_q(\theta, t) - \pi^{-1} c_{q,q+1} d_s F(s_q) \sum_{j=0}^N \lambda_{j,j+1} c_{j,j+1}^{-1} [d_s F(s_j)]^{-1} \times \\ \times \int_0^{2\pi} \partial_t \chi_j(v, t) R_{jq}^*(\theta, v, t) dv = - c_{q,q+1} [c_0^{-1} L_q^*(\theta, t) + c_{N+1}^{-1} N_q(\theta, t)] d_s F(s_q)$$

$$(8.2) \quad \begin{aligned} R_{jq}^*(\theta, v, t) = & \left\{ \begin{array}{l} \partial_\theta [\psi_q \sin \theta] \left[ \zeta(u) + \frac{1}{2} \frac{\psi'(u)}{\psi(u) + \psi(v)} \right] - \\ L_q^*(\theta, t) + \zeta(1) \partial_\theta (v - u) = \left\{ \begin{array}{l} - \partial_\theta [\psi_q \cos \theta] \left[ \theta(v) + \frac{1}{2} \frac{\psi'(v)}{\psi(u) + \psi(v)} \right] \end{array} \right. \end{array} \right. \\ N_q(\theta, t) = & \end{aligned}$$

где соответственно следует подставить

$$\begin{aligned} u &= \psi_j \cos v - \psi_q \cos \theta, & v &= \psi_j \sin v - \psi_q \sin \theta \\ u &= \psi_q \cos \theta + \omega_1, & v &= \psi_q \sin \theta + \omega_1 \\ u &= \psi_q \cos \theta, & v &= \psi_q \sin \theta, & \psi_q &= \psi_q(\theta, t), & \psi_j &= \psi_j(v, t) \end{aligned}$$

Здесь, как и в предыдущей задаче,  $\psi_q(\theta, t)$  — уравнение контура  $\Gamma_0$  изосаты  $s_q$  в полярных координатах (фиг. 4),  $\gamma$  и  $\zeta$  — символы пе- и дзета-функций Вейерштрасса,  $r'$  — производная пе-функции. Связь размерных и безразмерных величин следующая:

$$\psi_q = \psi_q^0 \omega_1^{-1}, \quad t = Qt^0 (\pi m H \omega_1)^{-1}$$

где  $Q = \text{const} > 0$  — расход через нагнетательную скважину,  $\omega_1$  — полупериод. Остальные обозначения прежние.

Начальные условия, поскольку они берутся в непосредственной окрестности скважины, вытекают из решения плоскорадиальной задачи Бакли — Леверетта [18]

$$(8.3) \quad \chi_q(\theta, 0) = r_0^2 d_s F(s_q) [d_s F(s_0)]^{-1} \quad (q=0, 1, \dots, N)$$

Здесь  $r_0$  — радиус фронтовой изосаты  $s_0$ ,  $r_0 \rightarrow 0$  при  $t \rightarrow 0$ .

Решение задачи Коши (8.1), (8.2) при начальных условиях (8.3) отыскивалось в виде степенных рядов по  $t$  (7.4) аналогично [10]. Для первых пяти производных после соответствующих выкладок получены следующие выражения:

$$(8.4) \quad \partial_t \chi_q(\theta, 0) = d_s F(s_q), \quad \partial_{t^2} \chi_q(\theta, 0) = \partial_{t^4} \chi_q(\theta, 0) = 0$$

$$(8.5) \quad \begin{aligned} \partial_{t^3} \chi_q(\theta, 0) + c_{q,q+1} \sum_{j=0}^N \operatorname{sign}(j-q) \{d_s F(s_j) [d_s F(s_q)]^{-1}\}^2 \operatorname{sign}(j-q-1) \times \\ \times \lambda_{j,j+1}^{-1} c_{j,j+1} \partial_{t^3} \chi_j(\theta, 0) = -0.8 c_{q,q+1} c_0^{-1} e_1^2 [d_s F(s_q)]^3 \cos 4\theta \end{aligned}$$

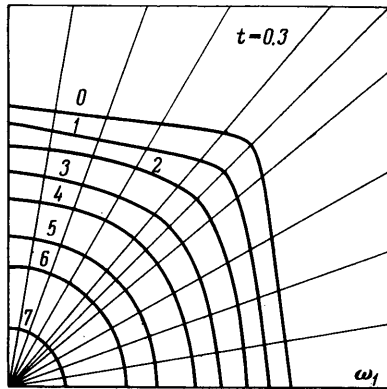
$$(8.6) \quad \begin{aligned} \partial_{t^5} \chi_q(\theta, 0) + c_{q,q+1} \sum_{j=0}^N \operatorname{sign}(j-q) \{d_s F(s_j) [d_s F(s_q)]^{-1}\}^4 \operatorname{sign}(j-q-1) \times \\ \times \lambda_{j,j+1}^{-1} c_{j,j+1} \partial_{t^5} \chi_j(\theta, 0) = -4 c_{q,q+1} c_0^{-1} \partial_{t^3} \chi_q(\theta, 0) [d_s F(s_q)]^2 \cos 8\theta \\ e_1 = 1.7187 \quad (q=0, 1, \dots, N) \end{aligned}$$

Производные  $\partial_{t^3} \chi_q(\theta, 0)$  и  $\partial_{t^5} \chi_q(\theta, 0)$  определяются в результате последовательного решения систем алгебраических уравнений (8.5) и (8.6). Были выполнены расчеты при тех же  $\mu_1 \mu_2^{-1}$ ,  $f_1(s)$  и  $f_2(s)$ ,  $s_q$ ,  $\langle s_q \rangle$ , что и в предыдущей задаче. Рассмотрены одно-, двух-, четырех- и восьмизонная схемы.

$q$	$s_q$	Одна зона	Две зоны	Четыре зоны	Восемь зон
1	0.3015	33.72	30.66	29.75	29.60
2	0.3377				17.94
3	0.3738			10.35	10.25
4	0.4186				4.867
5	0.4634		2.425	2.270	2.232
6	0.5339				0.6272
7	0.6044			0.1772	0.1750
	0.8022				0.0247

В таблице приведены значения  $\partial_{t^3} \chi_q(\pi/4, 0)$

Относительная погрешность  $\partial_t \chi_0(\pi/4, 0)$  для четырехзонной схемы не превышает по сравнению с восьмизонной 0.35%, а  $\partial_t \chi_8(\pi/4, 0)$  — 1.3%, что свидетельствует о быстрой сходимости с ростом числа зон.



Фиг. 4

На фиг. 4 изображены положения изосат  $\Gamma_q$  для момента времени  $t = 0.3$ , рассчитанные с помощью рядов по степеням  $t$ , в которых удержаны первые члены по  $t^5$  включительно.

Если фазовые проницаемости  $f_1, f_2$  и отношение вязкостей  $\mu_1 \mu_2^{-1}$  таковы, что  $K$  — монотонно возрастающая функция  $s$ , то можно дать верхнюю и нижнюю оценки времени прорыва воды в скважину (т. е. подхода к ней изосаты  $\Gamma_0$ ).

Принимая во всей переходной зоне  $D_T$  между  $\Gamma_0$  и  $\Gamma_{N+1}$  (последний совпадает с нагнетательной скважиной)  $K = K(s_0)$ , получаем завышенное значение времени прорыва  $t_{\Gamma_0}^+$ , так как подвижность на фронте  $\Gamma_0$  является нижней границей значений ее в  $D_T$ . Согласно [10]  $t_{\Gamma_0}^+$  (момент образования точки возврата на  $\Gamma_0$ ) определяется формулой

$$(8.7) \quad t_{\Gamma_0}^+ = t^o (c_{0,1} c_0^{-1})^{-1/2}$$

где  $t^o$  — время прорыва в одножидкостной системе ( $c_{0,1}, c_0^{-1} = 1$ ) или в системе жестких трубок тока. Коэффициент  $c_{0,1}$  рассчитывается по  $c_0 = K(s_-)$  и  $c_1 = K(s_0)$ . Таким образом, формула (8.7) дает верхнюю оценку  $t_{\Gamma_0}^+$ .

Перейдем к получению нижней оценки. Нетрудно показать, что элементы матрицы  $\|a_{jq}\|$  коэффициентов системы линейных уравнений, из которой определяются нечетные (не обращающиеся в нуль) производные  $\partial_{t^{2n+1}}^{2n+1} \chi_q(0, 0)$  ( $n = 1, 2, \dots$ ), имеют вид

$$(8.8) \quad a_{qq} = 1, \quad a_{jq} = c_{q,q+1} \lambda_{j,j+1} c_{j,j+1}^{-1} \operatorname{sign}(j-q) \{d_s F(s_j) [d_s F(s_q)]^{-1}\}^{2n} \operatorname{sign}(j-q)+1 \\ (j \neq q; \quad j, q = 0, 1, 2, \dots, N)$$

Поскольку  $d_s F(s_0) > d_s F(s_1) > \dots > d_s F(s_N)$ , то при  $n \rightarrow \infty$  элемент  $a_{jq} \rightarrow 0$ , т. е. матрица стремится к единичной.

Кроме того, на главной линии тока  $\theta = \pi/4$  справедливы неравенства

$$(8.9) \quad \partial_{t^{2n+1}}^{2n+1} \chi_0(\pi/4, 0) > \partial_{t^{2n+1}}^{2n+1} \chi_1(\pi/4, 0) > \dots > \partial_{t^{2n+1}}^{2n+1} \chi_N(\pi/4, 0) > 0 \quad (n=1, 2, \dots)$$

Положим теперь в первой строке матрицы  $\|a_{jq}\|$  для всех  $n$

$$(8.10) \quad a_{j0} = c_{q, q+1} \lambda_{j, j+1} \{d_s F(s_0) [d_s F(s_q)]^{-1}\}^3$$

что соответствует элементам  $a_{j,0}$  при  $n = 1$ . Примем также, что

$$(8.11) \quad \partial_{t^{2n+1}}^{2n+1} \chi_0(\pi/4, 0) = \partial_{t^{2n+1}}^{2n+1} \chi_1(\pi/4, 0) = \dots = \partial_{t^{2n+1}}^{2n+1} \chi_N(\pi/4, 0)$$

Подставляя (8.1) в первое из уравнений линейной системы типа (8.5), (8.6), находим

$$(8.12) \quad \partial_{t^{2n+1}}^{2n+1} \chi_0(\pi/4, 0) = b_{0n} \left( 1 + \sum_{j=1}^N a_{j0} \right) \quad (n=1, 2, \dots)$$

где  $b_{0n}$  — свободный член первого уравнения.

В силу сказанного выше правая часть формулы (8.12) является верхней границей величины соответствующей производной. Подстановка (8.12) в (7.4) дает мараконтийский ряд, радиус сходимости которого  $t_{\Gamma_0}^-$  меньше радиуса сходимости исходного степенного ряда. Используя результаты работы [10], легко получить эту

нижнюю оценку времени прорыва

$$(8.13) \quad t_{r_0^-} = t^0 \left[ c_{0.1} c_0^{-1} \left( 1 + \sum_{j=1}^n a_{j0} \right) \right]^{-\frac{1}{f_2}}$$

Принятые в расчете  $f_1$ ,  $f_2$  и  $\mu_1 \mu_2^{-1}$  обеспечивают монотонно возрастающую зависимость  $K$  от  $s$ . Поэтому полученные оценки применимы. Расчет дает  $t^0 = 0.423$ ,  $(t_{r_0^+} / t^0) = 0.925$ ,  $(t_{r_0^-} / t^0) = 0.841$ ,  $0.877$ ,  $0.885$ ,  $0.889$  соответственно для одно-, двух-, трех-, четырех- и восьмизонной схем. Уже для четырехзонной схемы относительное расхождение верхней и нижней оценок составляет  $\sim 4\%$ . Это позволяет заключить, что в практических расчетах время прорыва можно с достаточной точностью определять, используя однозонную схему, причем  $c_1 = K(s_0)$ , т. е.  $\langle s_1 \rangle = s_0$ .

Приближенный метод недеформируемых («жестких») трубок тока [18] при большом их числе дает значение времени прорыва воды  $(t_{r_0} / t^0) = 1$ . В рассмотренном случае его относительная погрешность составляет  $\sim 12\%$ .

Аналогичные рассуждения можно провести, если  $K$  — монотонно убывающая функция  $s$ . В этом случае формулы (8.7) и (8.1) дают соответственно нижнюю и верхнюю оценки для  $t_{r_0}$ , т. е. меняются местами.

Метод зональной линеаризации без затруднения распространяется на случай фильтрации двух несмешивающихся разновязкостных жидкостей с различными плотностями. Здесь имеются два пути. Первый — непосредственное применение идеи зональной линеаризации к уравнениям процесса подобно тому, как это описано в п. 2—4 для двухфазной фильтрации. Нет необходимости вводить осредненное давление, поскольку  $p_k = 0$ . Роль изосат играют линии равной концентрации. Второй, по-видимому, наиболее простой путь — использование аналогии между уравнениями течения смешивающихся жидкостей и уравнениями двухфазной фильтрации, изложенной в [19].

Необходимо отметить, что метод зональной линеаризации может быть распространен на случай неоднородной пористой среды, если известна функция Грина для области течения уравнения эллиптического типа  $\nabla(k\nabla u) = 0$ , где  $k(x, y, z)$  — проницаемость.

Поступила 14 V 1972

#### ЛИТЕРАТУРА

- Данилов В. Л., Кац Р. М. Метод однородных зон решения нелинейных многомерных задач массопереноса в пористых средах. Докл. АН СССР, 1971, т. 201, № 2.
- Данилов В. Л. О влиянии фазовой проницаемости в зоне вытеснения нефти водой на перемещение водонефтяного контакта. Изв. Казанск. фил. АН СССР, Сер. физ.-мат. н., 1959, № 13.
- Данилов В. Л. Интегро-дифференциальное уравнение движения водо-нефтяного контакта в пористой среде. Тр. З-го Всес. матем. съезда, Изд. АН СССР, 1956, т. 1.
- Данилов В. Л. Интегро-дифференциальные уравнения движения границы раздела жидкостей в пористой среде. Изв. Казанск. фил. АН СССР, Сер. физ.-мат. и техн. н., 1957, № 11.
- Данилов В. Л., Скворцов В. В. Решение одной задачи о стягивании контура нефтесности с учетом различия вязкостей нефти и воды. Изв. Казанск. фил. АН СССР, Сер. физ.-мат. и техн. н., 1959, № 13.
- Данилов В. Л., Скворцов В. В. Расчеты перемещения водо-нефтяного контакта и времени обводнения скважин на электронной цифровой машине. Изв. АН СССР, ОТН, Механика и машиностроение, 1960, № 4.
- Данилов В. Л., Коновалов А. Н., Якуба С. И. Об уравнениях и краевых задачах теории двухфазных фильтрационных течений в пористой среде. Докл. АН СССР, 1968, т. 183, № 2.
- Данилов В. Л. Об одном аналитическом методе решения задачи стягивания контура нефтесности. Изв. АН СССР, ОТН, Механика и машиностроение, 1962, № 1.
- Данилов В. Л., Скворцов Э. В. Решение задачи о стягивании близкого к круговому пятна жидкости под действием межфазного натяжения. Изв. АН СССР, МЖГ, 1966, № 2.
- Кац Р. М. О движении границы раздела двух жидкостей в пористой среде. Изв. АН СССР, МЖГ, 1967, № 5.

11. Абрамов Ю. С., Кац Р. М. О пространственном движении границы раздела двух несжимаемых жидкостей в пористой среде. Изв. АН СССР, МЖГ, 1967, № 6.
12. Абрамов Ю. С. О пространственном движении двух весомых вязких жидкостей в пористой среде. Изв. АН СССР, МЖГ, 1968, № 1.
13. Развитие исследований по теории фильтрации в СССР (1917—1967). М., «Наука», 1969.
14. Бан А., Богомолова А. Ф., Максимов В. А., Николаевский В. Н., Оганеджанянц В. Г., Рыжик В. М. и др. Влияние свойств горных пород на движение в них жидкости. М., Гостоптехиздат, 1962.
15. Тихонов А. Н., Самарский А. А. Уравнения математической физики. М., «Наука», 1969.
16. Курант Р. Уравнения с частными производными. М., «Мир», 1964.
17. Вычислительные методы в гидродинамике. М., «Мир», 1967.
18. Чарный И. А. Подземная гидрогазодинамика. М., Гостоптехиздат, 1963.
19. Lantz R. B. Rigorous calculation of miscible displacement using immiscible reservoir simulators. SPE Journal, 1970, vol. 10, No. 2.